

PROEVENLIJST <

Granulaten
Grond
Asfalt
Bitumen
Keramische materialen

Beton
Hydraulische bindmiddelen
Natuursteen
Pigmenten & Wegmarkeringen
On site testen



INHOUD

1. Granulaten	3
2. Grond	8
3. Asphalt	11
4. Bitumen	14
5. Keramische materialen	19
6. Beton	20
7. Hydraulische bindmiddelen	26
8. Natuursteen	29
9. Pigmenten & wegmarkeringen	30
10. On site testen	31

Hoe bezorgt u uw materiaal bij GEOS?

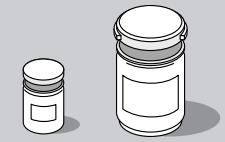


Zakken (granulaten, asphalt)

Spreek uw vraag vooraf door met onze specialisten. Ze kunnen u precies vertellen in welke vorm, maat en hoeveelheid het proefmateriaal aangeleverd dient te worden.



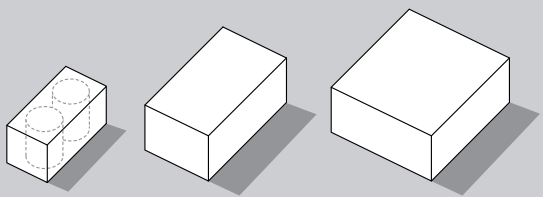
Metalen containers: S-M-L



Plastic containers: S-L

Geos laboratories biedt gratis aangepast verpakkingsmateriaal voor transport van diverse monsters.

Via onze pick-upservice komen uw materialen zonder problemen in onze laboratoria terecht.



Kartonnen dozen: S-M-L

Chemische proeven

Alkaligehalte (ICP-AES)	CUR-aanbeveling 89 § 6.2 (2018)	B	
	EN 196-2	B	
	LPC n° 37	B	
	XP P 18-544	B	L
Gehalte aan CaCO ₃	EN 196-2	B	
	Geos	B	
Zuuroplosbaar chloride	EN 1744-5	B	
Wateroplosbaar chloride	EN 1744-1 § 8	B	L
	NEN 5921	B	
	EN 1744-1 § 7	B	
Carbonaten (CO ₂)	EN 196-2	B	
Weerstand tegen verbrijzeling	Geos		
Gevaarlijke bestanddelen	EN 1423 Annex I	B	
Vrije kalk	EN 1744-1 § 18.4	B	L
Wateroplosbaarheid	EN 1744-1 § 16.1		L
Chloorwaterstofzuurproef	NBN 589-209 (1969)	B	
Chemische samenstelling (ICP-AES)	Geos	B	
Gloeiverlies	EN 1744-1 § 17	B	L
	ISO 3262-1		
Metallisch aluminium en zink	CUR-aanbeveling 116 Annex A (2012)		
Gehalte aan MgCO ₃	EN 196-2		
Organische verontreinigingen (fulvozuren)	EN 1744-1 § 15.2	B	L
Organische stoffen (H ₂ O ₂)	NBN 589-207 Par. 3 (1969)	B	
	PTV 406 Annex C - versie 6.0 (2015)		
	SB 250 (3.1) Hfdst. XIV § 4.15	B	
	NBN B 11-256	B	
Organische verontreinigingen (humus)	EN 1744-1 § 15.1	B	L
Organische stoffen (K ₂ Cr ₂ O ₇)	NBN 589-207 Par. 4 (1969)	B	
	NF P 94-055		L
Organische verontreinigingen (mortel)	EN 1744-1 § 15.3	B	
pH	ISO 787-9	B	
Zuuroplosbare sulfiden	EN 1744-1 § 13		L
SiO ₂ (XRF)	EN 196-2	B	
Zuuroplosbare sulfaten (IC)	EN 1744-1	B	L
Wateroplosbare sulfaten (IC)	EN 1744-1	B	L
Totaal zwavelgehalte (ICP-AES)	EN 1744-1 § 11	B	L
Totaal organisch koolstof	EN 13639		



Petrografische proeven

ASR-gevoelige aggregaten door PFM	CUR-aanbeveling 89 § 7.2 (2018)	B	
	XP P 18-543	B	L
Petrografische beschrijving van granulaten	FD P 18-542	B	
Geologisch dossier	TRA 411 (Annex C)		
Petrografische beschrijving van granulaten voor beton	ASTM C295		
Petrografische beschrijving van granulaten	BS 812 part 104		
	EN 932-3	B	L
Powerschaal van hoekigheid	Geos		
Kwalitatieve XRD analyse	Geos		
Kwantitatieve XRD analyse	Geos		

Fysische proeven

Versnelde expansieproef via UAMBT	ASTM C1567		
Versnelde expansieproef via autoclaaf	NF P 18-594 § 5.1	B	L
Lange termijn proef	CUR-aanbeveling 89 § 7.3.2 (2006)	B	
	CUR-aanbeveling 89 § 7.3.2 (2018)	B	
	NF P 18-594 § 6		
	CUR-aanbeveling 89 § 7.3.1 (2018)		
	DAfstb Alkali-Richtlinie, 2007-2, Teil 3 §5.2		
	Infrabel Spécification tech. No. L23 (2017)		
	RILEM TC 106-2	B	
Reductie van een sample tot laboratoriumgrootte	EN 932-2 (excl. §9 en §12)	B	
Détermination des coefficients d'abrasivité et de broyabilité	NF P18-579		L
Affiniteit van granulaat voor bitumen	EN 12697-11	B	L
Type granulaat	Geos		
Versnelde expansieproef "Microbar"	NF P 18-594 § 5.2	B	L
Versnelde expansieproef via UAMBT	ASTM C 1260		
Atterbergse grenzen	EN ISO 17892-12	B	L
	NF P 94-051		
	Afl. PM - Hfdst. 01 (01.03)	B	
Kleikorrels	NF P 18 545 § 10.1.6		
Gehalte aan onzuiverheden en kleipartikels	XP P 18 546		L
Percentage gebroken oppervlakken	EN 933-5	B	L
	EN 13055 Annex A		
Schijnbare bulkdichtheid van vulstoffen in kerosine (Annex A)	EN 1097-3 Annex A	B	L
Dichtheid	EN 1097-6 Annex B	B	L
	EN 1097-6 §7	B	L
	EN 1097-6 §8	B	L
	EN 1097-6 §9	B	L
	ASTM C127		



GRANULATEN

Dichtheid van onverdicht materiaal	EN 1097-3	B	L
Voorgedroogde dichtheid (31,5 - 63 mm)	EN 1097-6 Annex A	B	L
	EN 1097-6 Annex G	B	L
Deeltjesdichtheid en waterabsorptie (31,5 - 63 mm)	EN 1097-6 Annex B	B	L
	EN 1097-6 §7	B	L
	EN 1097-6 §8	B	L
	EN 1097-6 §9	B	L
Dichtheid en waterabsorptie	ASTM C127		
Deeltjesdichtheid en waterabsorptie (met fijn)	EN 1097-6	B	L
	EN 12620		
Toetsing van granulaten	EN 13139		
	RAW (2020) Hfdst. 22 § 06		
	RAW (2020) Hfdst. 83 § 16.01		
Weerstand tegen disintegratie	EN 13055-1 Annex B		
Krimp door drogen	EN 1367-4	B	
Fijnheidsindex	EN 12620		
Vlakheidsindex	EN 933-3	B	L
Stroomcoëfficiënt	EN 933-6 § 8	B	L
Hoeveelheid vreemde deeltjes in asfaltgranulaat	EN 12697-42		
Vorst-dooi bestandheid	EN 1367-1	B	L
Verbrokkelingscoëfficiënt	EN 1423 Annex G	B	
	NF P18-576		
Vorst-dooi bestandheid	EN 13055-1 Annex C		
Niet-toegestane verontreinigingen	NF P 18 545 § 3.43	B	
Reactieve ijzersulfidedeeltjes	EN 1744-1 § 14.1	B	L
Berekening keuringsfrequentie (k-waarde)	BRL 9324		
Los Angeles coëfficiënt (LA)	ASTM C535		
	EN 1097-2	B	L
	NF P 18-572	B	
	EN 1097-2 (Annex A)	B	L
Lichte verontreinigende stoffen	EN 1744-1 § 14.2	B	L
Methyleenblauwproef	EN 933-9	B	L
	NEN 5941		
	NF P 94-068		L
	EN 933-9 Annex A	B	L
Micro-Deval coëfficiënt	Verhoef		
	EN 1097-1	B	L
	NF P 18-572	B	
	EN 1097-1 (Annex A)	B	L
Magnesiumsulfaatproef	ASTM C88		
	EN 1367-2		



GRANULATEN

Korrelverdeling	EN 933-1	B	L
	RAW (2020) proef 11	B	
Polijstwaarde (PSV)	EN 1097-8	B	L
Zandequivalent	EN 933-8	B	L
	EN 933-8 Annex A	B	L
Korrelvormgetal	EN 933-4	B	
Percentage aan schelpdelen	EN 933-7	B	L
	FM 5-555		
Schelpgehalte	BS 812 part 106		
Vlekkenveroorzakende ijzer- en vanadiumverbindingen	CUR-aanbeveling 100 Annex H (2004)		
	NEN 5923		
Toetsing korrelverdeling aan Talbot curve	Geos		
Weerstand tegen thermische schok (V_LA)	EN 1367-5	B	
Vialitplaat-schokproef - mechanische adhesiviteit	EN 12272-3 § 4.3.2.2		
Waterabsorptie	EN 1097-6 §7	B	L
	EN 1097-6 §8	B	L
	EN 1097-6 §9	B	L
	ASTM C127		
Watergehalte	EN 1097-5	B	L

6

Bouwkalk

Sulfaatgehalte (IC)	EN 459-2 §5.3		
Gehalte aan CaO	EN 459-2 §5.8	B	
Gehalte aan Ca(OH) ₂	EN 459-2 §5.8	B	
Normaalmortel naargelang de massa en waterbehoefte voor de bepaling van de vloeï en indringing	EN 459-2 §6.8		
Korrelverdeling van vulstoffen (luchtstraalzeving)	EN 459-2 §6.2	B	

Vulstoffen

Bepaling van de druksterkte (28 dagen)	EN 196-1	B	
Versnelde expansieproef via UAMBT	Geos		
Bitumengetal	EN 13179-2	B	
Invloed op de vormvastheid (Châtelier)	EN 196-3 §7	B	
Chloride	EN 196-2 §4.5.16	B	
Dichtheid van vulstof	EN 1097-7	B	L
Watergevoeligheid van vulstoffen	EN 1744-4	B	
Wateroplosbaarheid van vulstof	EN 1744-1 § 16.2		L
Oplosbaarheid in zoutzuur	PTV 812 o.3NL		
Gloeiverlies	EN 196-2 §4.4.1	B	
	EN 196-2	B	
Gehalte oplosbaar fosfaat	EN 450-1 Annex C	B	



GRANULATEN

Korrelverdeling van vulstoffen (luchtstraalzeving)	EN 933-10	B	
Deltaring en kogel proef	EN 13179-1	B	L
Sulfaatgehalte (IC)	EN 196-2	B	
Invloed op begin binding	EN 196-3 §6	B	
Holle ruimten in droge verdichte vulstof	EN 1097-4	B	L

Agressiviteit t.o.v. Beton (grondwater)

Gehalte aan agressief koolstofdioxide in water	EN 13577		
NH ₄ ⁺	ISO 7150-1		
pH	ISO 4316	B	
Beoordeling van grondwater voor agressiviteit t.o.v. beton	NBN EN 206-1		

Gerecycleerde granulaten

Asbest in gerecycleerde granulaten	CMA/2/II/C.2		
	CMA/2/II/C.3		
Asbestscreening	OVAM Eenheidsreglement bijlage 2		
Classificatiebeproeving	RAW (2020) proef 35	B	
	CMA/2/II/A.22	B	
	CMA/2/II/A.23	B	
	EN 933-11	B	L
	PTV 406 Annex I	B	
	406 Annex J	B	
	RAW (2020) proef 35	B	
Wateropl. sulfaten in gerec. granulaten (IC)	EN 1744-1	B	L
Invloed op begin binding	EN 1744-6	B	
Chloride	EN 1744-5	B	

Hoogovenslak

Onbestendigheid door dicalciumsilicaat van hoogovenslak	EN 1744-1 § 19.1		L
Onbestendigheid door ijzer van hoogovenslak	EN 1744-1 § 19.2		L
Uitzetting van staalslak (168 u)	CME 01.12	B	
	EN 1744-1 § 19.3	B	L
Fijnheidsmodulus	RAW (2020) proef 15		
	EN 12620 - Annex B		
Vreemde bestanddelen in staalslakken	BRL 9310 § 5.6.1		



Chemische proeven

Zuurgraad door Baumann-Gully	EN 16502	
Extractie van in water oplosbare voedingsstoffen en elementen (Cl- met titratie)	EN 13652	
Chloorwaterstofzuurproef	RAW (2020) proef 37	B
Gloeiverlies, organische stof en CaCO ₃ -gehalte	RAW (2020) proef 28	B
Mg ²⁺ (ICP-AES)	ISO 7980	
Organische stoffen (CCl ₃ COOH)	SB 250 (3.1) Hfdst. XIV § 3.4	
Organische stoffen (H ₂ O ₂)	RAW (2020) proef 36	B
Organische stofbepaling via calcinatie (TGA)	XP P 94 047	
pH	ISO 10390	
	Afl. PM - Hfdst. 01 (01.07)	B
	RAW (2020) proef 27	
Zoutgehalte van grond per liter bodemvocht	RAW (2020) proef 38	B
Sulfaatgehalte (IC)	EN 196-2	

Geotechnische proeven

Zwelproef	BS 1377-5	
Geconsolideerde, gedraineerde triaxiaalproef	NEN 5117	
	BS 1377-8	
	EN ISO 17892-9	
Geconsolideerde, ongedraineerde triaxiaalproef	NEN 5117	
	BS 1377-8	
	EN ISO 17892-9	
Ongeconsolideerde, ongedraineerde triaxiaalproef	BS 1377-8	
	EN ISO 17892-8	
Samendrukingsproef op een vrijstaand monster	EN ISO 17892-7	
Hand vinproef	Geos	
Vinproef	ASTM D4648	
	BS 1377-7	



Petrografische proeven

Geologische beschrijving van grond

Geos

Fysische proeven

Atterbergse grenzen	RAW (2020) proef 14	B	
Classificatie van onverharde grondmonsters	NEN 5104		
	GTR		
	NF P 11-300		
	SB 250 (3.1) Hfdst. III § 3		
	SB 260 (1.0) Hfdst. XXII § 4.1.1.2.F		
Deeltjesdichtheid	EN ISO 17892-3		L
Volumemassa	EN ISO 17892-2 § 5.1		
	NEN 5110 & 5112		
	NF P 94-053		
Toetsing van grond/klei	RAW (2020) Hfdst. 22 § 06		
Elektrisch geleidingsvermogen	EN 13038		
Erosiebestendigheid	RAW (2020) Hfdst. 22 § 06.07		
Korrelverdeling - Hydrometer	EN ISO 17892-4 § 5.3	B	L
	NF P 94-057		L
	RAW (2020) proef 1	B	
Doorlatendheidscoëfficiënt	Geos		
Doorlatendheid met Eykelkamp (gebaseerd op ISO/TS 17892-11)	Geos		
Doorlatendheid met "Constant Head"	NEN 5123		
Doorlatendheid met de "falling-head" methode (gebaseerd op ISO/TS 17892-11)	Geos		
Korrelverdeling - gehalte <0,020 mm	RAW (2020) proef 12		
Korrelverdeling - gehalte <0,063 mm	RAW (2020) proef 2	B	
Korrelverdeling d.m.v. laserdiffractie	Geos		
Korrelverdeling	EN ISO 17892-4 § 5.2	B	L
	NF P 94 056		
Beoordeling van grond voor agressiviteit t.o.v. beton	NBN EN 206-1		
Textuur van grond	RAW (2020) proef 29		
Bodemtextuur	SB 250 (3.1) Hfdst. III § 4.2		
Watergehalte	EN ISO 17892-1		L
	NF P 94-050		
	SB 260 (1.0) Hfdst. XXII § 4.2		



Proctor proeven

Bindmiddeldoseringscurve	Geos		
Bindmiddelstudie	Geos		
CBR-waarde (California bearing ratio)	EN 13286-47	B	L
	NF P 94 078		L
Bepaling van de druksterkte	RAW (2020) proef 18	B	
	EN 13286-41	B	L
Immediate bearing index (IPI)	EN 13286-47	B	L
1-punts standaard Proctor verdichting	EN 13286-2	B	L
1-punts versterkte Proctor verdichting	EN 13286-2	B	L
5-punts standaard Proctor verdichting	EN 13286-2	B	L
5-punts versterkte Proctor verdichting	EN 13286-2	B	L
Weerstand tegen onderdompeling	CME 52.23		
Bepaling van de slijptreksterkte	EN 13286-42	B	L
Versnelde zwelproef	EN 13286-49		
Verificatie geschiktheid grond	NF P 94-100		
Verwerkbaarheidsperiode	EN 13286-45	B	

10

GEOS laboratories



accreditaties : B - BELAC (ISO 17025) / A - AASHTO / L - LABORROUTE



Mix design

Asfalt mengen	EN 12697-35	B	
Proefstukken verdicht met een gyratorverdichter	EN 12697-31	B	
	CME 54.39	B	
Monstervoorbereiding door walsverdichter	EN 12697-33 §7.1	B	L
Spoorvormingstest (groot wiel)	EN 12697-22 §8.1	B	L
Spoorvormingstest (klein wiel)	EN 12697-22 §8.3		
Spoorvormingstest (vertrekkend van kernen van 400 cm ²)	CME 54.13	B	
Spoorvormingstest (vertrekkend van bitumineuze mengsels aangemaakt in labo)	CME 54.18	B	
Stijfheid	EN 12697-26 (Methode A)		L
Vermoeingsproef	EN 12697-24 (Methode A)		L

Fysische proeven

Monsternamen van bitumineuze mengsels	CME 54.28	B	
Boren van asfaltkernen	Geos		
Watergehalte	EN 12697-14		
Verdichtbaarheid	EN 12697-10		
Proefstukken verdicht met een slagverdichter	EN 12697-30	B	
Afmetingen van een bitumineus proefstuk	EN 12697-29	B	L
Dikte van een bitumineuze laag	EN 12697-36 §6.1	B	L
Constructieopbouw en laagdikte en aanwezigheid van een bitumineus proefstuk	SB 250 (4.1) Hfdst. VI § 2	B	
	CME 54.42		
Bulkdichtheid (methode D)	EN 12697-6	B	L
	RAW (2020) proef 67	B	
Bulkdichtheid (methode A)	EN 12697-6	B	L
	RAW (2020) proef 67	B	
Bulkdichtheid (methode B)	EN 12697-6	B	L
	RAW (2020) proef 67	B	
Mengseldichtheid	EN 12697-5	B	L
	RAW (2020) proef 68	B	
Relatieve dichtheid	SB 250 (2.2) Hfdst. XIV §4.2	B	
	CME 54.08	B	

accreditaties : B - BELAC (ISO 17025) / A - AASHTO / L - LABORROUTE



ASFALT

Gehalte aan poriën	EN 12697-8	B	L
	RAW (2020) proef 69	B	
	SB 250 (4.1) Hfdst. XIV § 4.3	B	
	CME 54.09	B	
Watergevoeligheid (ITSR, methode A)	EN 12697-12	B	L
	CME 54.40	B	
Indirecte splijttreksterkte	EN 12697-23	B	L
Verdichtingsgraad	RAW (2020) proef 66	B	
	CME 54.08	B	
Verwerkbaarheid van de emmer	Geos		
Vorbereiding van proefstukken voor bepaling bindmiddelgehalte, watergehalte en korrelverdeling	EN 12697-28		L
Bepaling van de aanhechtsterkte	EN 12697-48		
Afdruipen van bindmiddel	EN 12697-18 §5	B	
Indeukingsproef op proefplaten	EN 12697-21		
Indeukingsproef	EN 12697-20	B	L
Weerstand tegen ontgooingsvloeistoffen	EN 12697-41		
Weerstand tegen brandstof	EN 12697-43		
Vrije krimp bij constante temperatuur van vloeiasfalt	Geos		
Extractie van bindmiddel (Asphalt analyser)	EN 12697-1 Annex B.2.1	B	L
Extractie van bindmiddel (Soxhlet)	EN 12697-1 Annex B.1.3	B	L
Gehalte aan oplosbaar bindmiddel (Asphalt analyser)	EN 12697-1 Annex B.2.1	B	L
	TP Asphalt-StB Teil 1	B	
Gehalte aan oplosbaar bindmiddel (Soxhlet)	EN 12697-1 Annex B.1.3	B	L
	RAW (2020) proef 65.1	B	
Korrelverdeling	EN 12697-2	B	L
Terugwinning van bitumen: rotatieverdamper	EN 12697-3	B	L

12

GEOS laboratories

Recyclability

Constructieopbouw en laagdikte van een bitumineuze laag	CROW Publicatie 210 (RAW Proef 77.1)(2020)	B	
	RAW (2020) proef 77.1	B	
Constructieopbouw en laagdikte en aanwezigheid van PAK van een bitumineuze laag	SB 250 (3.1) Hfdst. VI §2		
Dikte van een bitumineuze laag	CROW Publicatie 210		
	RAW (2020) proef 64	B	



ASFALT

Aanwezigheid van teer (semi kwantitatief) infraroodanalyse	SB 250 (3.1) Hfdst. XIV §3.7.2.3	B
Aanwezigheid PAK door DLC	CROW Publicatie 210 (RAW Proef 77.3)(2020)	B
PAK-gehalte door HPLC (10 componenten, OVAM) (gebaseerd op NEN 6977+C1, NEN 7331/A1 §9.6)	Geos	B
PAK-gehalte door HPLC (10 componenten, VROM) (gebaseerd op NEN 6977+C1, NEN 7331/A1 §9.6)	Geos	B
PAK-gehalte door HPLC (16 componenten, EPA) (gebaseerd op NEN 6977+C1, NEN 7331/A1 §9.6)	Geos	B

Koudasfalt

Korrelverdeling	EN 12697-2	B	L
	PTV 861 - version 2.0 §4.3 (2017)	B	
Gehalte aan oplosbaar bindmiddel (Asphalt analyser)	EN 12697-1 Annex B.2.1	B	L
	PTV 861 - version 2.0 §4.4 (2017)	B	
Gehalte aan poriën	EN 12697-8	B	L
Verhardend vermogen	PTV 861 - version 2.0 §4.5 (2017)		
Mogelijkheid om te comprimeren	PTV 861 - version 2.0 §4.10 (2017)	B	
Stabiliteit	PTV 861 - version 2.0 §4.6 (2017)		
Weerstand tegen onthulling	PTV 861 - version 2.0 §4.7 (2017)		
Indirecte treksterkte	PTV 861 - version 2.0 §4.9 (2017)	B	
Weerstand tegen spoorvorming	PTV 861 - version 2.0 §4.8 (2017)	B	

13

GEOS laboratorien

GEOS kan het ophalen en transport van uw monsters organiseren tot aan de levering in ons laboratorium.



+32 (0)12 67 09 09



accreditaties : B - BELAC (ISO 17025) / A - AASHTO / L - LABORROUTE



BITUMEN

Vorbereiding van de samples	EN 12594		L
Indringing (25°C-100g-5s)	EN 1426	B	L
	AASHTO T 49	B	A
	ASTM D5	B	A
	IRAM 6576		
	PTV 866 - version 1.0 §4.3 (2020)	B	
	GOST 11501-78		
Indringing (15°C-100g-5s)	EN 1426	B	L
Indringing 5 temperaturen (IP-5T)	FD T 66-064-2015		
Verwekingspunt (R&K)	AASHTO T 53	B	A
	ASTM D36	B	A
	EN 1427	B	L
	IRAM 6841		
	PTV 866 - version 1.0 §4.4 (2020)	B	
Penetratie index	EN 12591 Annex A	B	
	IRAM 6835 5.1		
Breekpunt Fraass	EN 12593	B	L
Dynamische viscositeit	AASHTO T 202		A
	AS 2341.2		
	ASTM D2171	B	A
	EN 12596	B	L
Kinematische viscositeit	EN 12595	B	L
	AASHTO T 201		A
	ASTM D2170	B	A
Oplosbaarheid	AASHTO T 44	B	A
	ASTM D2042	B	A
	EN 12592	B	L
	IRAM 6835 5.2		
Vlampunt - COC	AASHTO T 48	B	A
	ASTM D92	B	A
	EN ISO 2592	B	
	IRAM IAP A65-55		
Massaverandering	AASHTO T 240	B	A
	ASTM D2872	B	A
	EN 12607-1	B	L
	IRAM 6839		



BITUMEN

Dynamic Shear Rheometer (DSR)	AASHTO T 315	B	A
	ASTM D7175	B	A
	AL DSR Prüfung (BTSV)		L
	EN 14770	B	L
	AL DSR Prüfung (konstante Sherrate)		L
DSR: Flow curves bij vaste temperatuur	EN 14770	B	L
Temperature sweep (DSR)	AL DSR-Prüfung (T-Sweep)		
	TL Bitumen - StB § 5.4 - EN 14770	B	
	EN 14770	B	L
Totaal Zuurgetal (TAN)	ASTM D664		
Adhesiviteit d.m.v. waterimmersietest granulaatmethode	EN 15626		
Asgehalte	BS 2000-223	B	
	DIN 52005	B	
	EN 12697-47	B	
	ASTM D3174		
	ASTM D3180		
Bending Beam Rheometer (BBR)	AASHTO T313	B	A
	AL BBR-Prüfung		
	ASTM D6648	B	A
	EN 14771	B	L
Elementanalyse (ICP-AES)	Geos		
Mengen PMB	Geos		
Relatieve dichtheid	AASHTO T 228	B	A
	ASTM D70	B	A
	EN 15326	B	L
	EN ISO 3838		
	EN 1097-7	B	L
Dichtheid bij 15°C	ASTM D70	B	A
	ASTM D4052		
	EN 15326	B	L
	EN ISO 3838		L
	EN ISO 12185		
Dichtheid bij 25°C & 15°C	ASTM D70	B	A
	ASTM D70	B	A
	EN 15326	B	L
	ASTM D70	B	A
	EN 15326	B	L
	EN ISO 3838		L
ASTM D70	B	A	
Dispersies van polymeren	EN 13632	B	L
VOC	Geos		
	EN ISO 3405		



BITUMEN

Ductiliteit	ASTM D113	B	A
	DIN 52013		
	NBN T 54-208 (1971)	B	
	Afl. PM - Hfdst. 8 (o8.36)	B	
Durability index	IRAM 6835 5.3		
Durability	NZTA T13		L
Elastische terugvering	AASHTO T301	A	
	ASTM D7175	A	
	EN 13398	B	L
Equiviskeuze temperatuur door DSR	prEN 15324		
Equiviskeuze temperatuur	NEN 3945	B	
Vermoeingsproef	RILEM TC 182 ATB		
Kracht-ductiliteit	AASHTO T 300		
	EN 13589 - EN 13703	B	L
H ₂ S	IP 570		
H ₂ S in headspace van bitumen d.m.v. Draeger tubes	Geos		
Gehalte aan asfaltenen	DIN 51595	B	
	BS 2000-IP 143	B	
Vermoeingsweerstand van asfaltbinders gebruikmakend v. Linear Amplitude Sweep	AASHTO TP 101		
Massaverlies na verwarming	ASTM D6	B	
	EN 13303	B	L
Gloeiverlies	Geos		
TTS Mastercurve	EN 14770	B	L
MSCR	AASHTO T 350	B	A
	ASTM D7405	A	
	AL MSCR	B	
Polymeergehalte	Geos		
Na (ICP-AES)	Geos		
Aanwezigheid van PAK met PAK-detector	CROW Publicatie 210 § 4.2 (RAW Proef 77.2)(2015)	B	
PAK-gehalte door HPLC (16 componenten, EPA)(gebaseerd op NEN 6977+C1, NEN 7331/A1 §9.6)	Geos	B	
PAK-gehalte (16 componenten, EPA)	NEN 7331/A1 § 9.6		
Pressure Ageing Vessel (PAV)	AASHTO R28	B	A
	ASTM D6521	B	A
	EN 14769	B	L
Slingerproef	EN 13588	B	L
Determination Performance Binder Grade and Continuous Performance Grade	AASHTO M320		



BITUMEN

Plasticiteitsindex	EN 14023	B	L
Polymeergehalte	Geos		
	LPC n° 71		
IR fingerprint	Geos		
Polymeertype	Geos		
Vlampunt - PMCC	ASTM D93	B	
	EN ISO 2719	B	L
Waarneembare eigenschappen	EN 1425		
Totale zwavel	ASTM D2622		
Zoutgehalte in bitumen	Geos		
	CEN TC336 WG2		
SARA analyse	ASTM D4124		
	IP 469		
Spot test	AASHTO T 102		
Spot test (Ensayo de la mancha)	IRAM 6594		
Neiging tot vlekvormig	EN 13301	B	L
Opslagstabiliteit	ASTM D7173		
	ASTM D5976		
	EN 13399	B	
Susceptibility index	Geos		
Massaverandering	AASHTO T 179		A
	ASTM D1754	B	A
	EN 12607-2	B	L
	EN 12607-3		L
Fuming loss	Geos		
Trekeigenschappen van bitumen	EN 13587	B	
Kleur coördinaten en luminantie	EN 1871 (Annex A)		
Verificatie van capillairen	Verification of capillary viscometers	B	
Dynamische viscositeit	ASTM D4402	B	A
Dynamische viscositeit (Temperature sweep)	EN 13302	B	L
Viscositeit - Kegel en plaat	EN 13702	B	L
Dynamische viscositeit @ 60°C	ASTM D4402	B	A
Visuele kenmerken	Geos		
Paraffine door destillatie	EN 12606-1	B	L
Paraffine door extractie	EN 12606-2	B	L
Zero Shear Viscosity	CEN/TS 15325		
Bepaling van Delta Tc	PTV 854 §5.4	B	



Emulsies

Breekindex	EN 13075-1	B	L
Menging met cement van emulsies	ASTM D6935		L
Destillatieverloop	EN 13358		
Elastische terugvering	EN 13398	B	
Terugwinning (verdamping)	EN 13074-1	B	L
Stabilisatie (terugwinning)	EN 13074-2	B	L
Uitstroomtijd	EN 12846-1	B	L
	NFT T 66-005		L
Indringing (25°C-100g-5s)	EN 1426	B	L
pH	EN 12850	B	L
Deeltjespolariteit	EN 1430	B	L
Verwekingspunt (R&K)	EN 1427	B	L
Hoeveelheid residu en oliedestillaat	EN 1431		L
Bepaling van het neerslaggedrag van bitumenemulsies	EN 12847		
Zeefrest	EN 1429	B	L
Opslagstabiliteit	EN 1429	B	L
Dynamische viscositeit	EN 13302	B	L
Watergehalte	EN 1428	B	L
	EN 16849	B	
Onderdompelproef	EN 13614		L

Joint sealants

Compatibiliteit	EN 13880-9		
Conuspenetratie bij (25°C)	EN 13880-2	B	
Dichtheid bij 25°C	EN 13880-1	B	
Vloeiweerstand	EN 13880-5	B	
Gewichtsverandering	EN 13880-8		
Indringing (25°C-100g-5s)	EN 1426	B	
Pen & terugvering	EN 13880-3	B	L
Verwekingspunt (R&K)	EN 1427	B	
Warmteweerstand	EN 13880-4	B	L
Adhesie en cohesie	EN 13880-10		
Discontinue rek	EN 13880-13		



KERAMISCHE PRODUCTEN

Slijtweerstand	EN 1344 - Annex E	B
	EN ISO 10545-6	B
Capillaire waterabsorptie	EN 772-11	B
Koud waterabsorptie	EN 772-21	B
Bepaling van de eenzijdige druksterkte	EN 14617-15	
	EN 772-1	B
Bruto droge dichtheid	EN 772-13	B
Netto droge dichtheid	EN 772-13	B
Afmetingen van straatbakstenen	EN 1344 - Annex B	B
Afmetingen	EN 772-16 §7.1	B
Uitbloeiingen	NBN B 24-209 (1974)	B
Vlakheid van metselstenen	EN 772-20	
Bepaling van de buigsterkte	EN 14617-2	
	EN 1344 - Annex D	B
	EN 15037-3+A1	
Vorst/dooi bestandheid	EN ISO 10545-4	B
	NBN B 27-009 (1996)	B
	EN 772-22 (2019)	B
	EN 1344 - Annex C	B
Wateropsorping door capillariteit	NBN B 23-101 (2020)	
	NBN B 27-010 (1983)	B
Vlakevenwijdigheid	EN 772-16 §7.4	
Mantels en ribben	EN 772-16 §7.2 & §7.5	B
Weerstand tegen uitglijden	CEN TS 16165	B
Gehalte aan actief-oplosbare zouten (ICP-AES)	EN 772-5 §9.3	B
Netto volume en holtegehalte	EN 772-3	B

GEOS kan het ophalen en transport van uw monsters organiseren tot aan de levering in ons laboratorium.



+32 (0)12 67 09 09



accreditaties : B - BELAC (ISO 17025) / A - AASHTO / L - LABORROUTE



Chemische proeven

Alkaligehalte (ICP-AES)	EN 196-2	B
Cementgehalte	GrandDuBé	
	NBN B 15-250	B
Chloridegehalte d.m.v. potentiometrische titratie	BSW rapportnummer 96-01	B
	EN 14629	
	NBN B 15-250	B
	GrandDuBé	
Wateroplosbaar chloride	EN 1015-17	B
Totaal gehalte aan chloride-ionen	GrandDuBé	
CO ₂ (TGA)	NBN B 15-250	B
Onoplosbare rest van mortel (HCl-test)	Geos	
	GrandDuBé	
Onoplosbare rest	NBN B 15-250 §8	B
Gloeiverlies	NBN B 15-250 §7	B
	NBN B 15-250	B
Nitraatgehalte (IC)	Geos	
Sulfaatgehalte (IC)	NBN B 15-250	B
Sulfaatgehalte (gravimetrie)	NBN B 15-250	B

Duurzaamheidstesten

Gevoeligheid van een betonformule voor alkali-aggregaat reactie (AAR)	NF P 18-454	B
Zuurbestandheid van beton	Geos	
Eigenschappen van luchtbellen	ASTM C 457	B
	EN 480-11	B L
Versnelde test op beton	NBN B 15-001	
Weerstand tegen carbonatatie	Geos	
	EN 13295	
Carbonatatie diepte	CUR-aanbeveling 48 (2010)	
	EN 14630	B
Chemische bestandheid van beton	EN 1825-1 §8.2.1	
	EN 858-1 §8.1.4	
Weerstand tegen zeewater	CUR-aanbeveling 48 § 7.5 (2010)	
	NBN B 15-100 § 6.4.2.5	
Weerstand tegen sulfaten	CUR-aanbeveling 48 § 7.5 (2010)	
	NBN B 15-100 § 6.4.2.6	
Vorstbestandheid - interne schade	NBN B15-100	

accreditaties : **B** - BELAC (ISO 17025) / **A** - AASHTO / **L** - LABORROUTE



BETON

Vorstbestandheid (vorst/dooi in water)	NF P 18-424	
Vorst/dooi bestandheid met dooizouten	NBN B15-100	
	EN 1433 Annex C	B
	EN 13687-1	
	CEN/TS 12390-9 §5	B
	RNR 06	B
	XP P 18-420	
	ISO/DIS 4846-2	
	SB 250 (3.1) Hfdst. XIV §4.8	
Bepaling van de vorstbestandheid	NBN B 15-231 (1987)	B
Aanmaak en bewaring van proefstukken voor druksterkte	EN 12390-2	L
Gasdoorlatendheid van verhard beton	XP P 18-463	B
Waterdichtheid	EN 491 §5.7	B
Indringingsdiepte van water onder druk	EN 12390-8	B
	ISO 7031	L
Versnelde Chloride Migratie	XP P 18-462	B
	NT Build 492	B
Elektrische weerstand van beton	Geos	
Lange termijn proef	LPC n° 66	

Verse mengsels

Luchtgehalte van verse mortel	EN 1015-7	B
	EN 12350-7	B L
	EN 413-2 §7	B
	EN 1015-7	B
Volumemassa	EN 12350-6	B L
Schudmaat	EN 12350-5	B L
Zetmaat	EN 12350-2	B L
Vébé test	EN 12350-3	
Water gehalte	TRA 550 Deel P, Annex A § 2.2	

Petrografische proeven

Petrografische beschrijving van mortel	Geos	
Petrografische beschrijving van beton	Geos	

Fysische proeven

Trekproef	PTV 8450-2 - version 2.0 (2016)	B
	SB 250 (3.1) Hfdst. III § 43.3.5.4	
	EN 1542	



BETON

	EN 1348	
	NBN B 14-210 (1969)	
Capillaire waterabsorptie	Geos	
	NBN B 15-217 (1984)	B
Druksterkte	EN 12390-3	B L
	NBN B 15-220 (1990)	B
	PTV 100 (2002)	B
	RAW (2020) proef 32	
	PTV 21-101 (2010)	
	EN 826	
Druksterkte van in situ ontnomen proefstukken	CME 52.05	B
Diktemeting van de lagen van betonkernen en diameter van wapening	CME 53.17	B
	EN 13863-3	B
Diktemeting van fundering en asfaltlagen	CME 52.04	B
Monsternamen van betonkernen	EN 12504-1	
Betondekking	EN 1917 § 6.3.2	
Kruip	NBN B 15-228 (1976)	
Dichtheid van verhard beton door afmetingen	EN 12390-7	B
	NBN B 15-218 (1986)	B
Dichtheid van verhard beton door waterverplaatsing	EN 12390-7	B
Dichtheid van verharde mortel door afmetingen	EN 1015-10	B
Porositeit en volumemassa	NF P 18-459	B L
	GrandDuBé	
Massa per oppervlakte-eenheid	EN 845-2 § 5.2.2	
Bepaling van de geluidssnelheid (dynamische E-modulus)	NBN B 15-229 (1976)	
Statische elasticiteitsmodulus	EN 12390-13	
Vezelgehalte in betonspecie of verhard beton	EN 14721+A1 (2007)	B
Buigsterkte (één-punts lading)	EN 12390-5 Annex A	B
Buigsterkte (tweepunts lading)	EN 12390-5	B
Krimp en zwel	NBN B 15-216 (1974)	
Weerstand tegen uitglijden	EN 13036-4	B
Splijttreksterkte	EN 12390-6	B
Splijtsterkte (gebaseerd op NBN EN 1338 Annex F (2003))	Geos	
Weerstand tegen belasting op afdekkingen voor putten en kolken	EN 124-1	



BETON

Weerstand tegen belasting op afwateringsgoot	EN 1433 § 9.1	B
Weerstand tegen verbrijzeling van afdekkingen voor putten en kolken	BRL 9203 § 4.2.13	
Bovenbelastingsproef op een deksel, dekelement en/of dekplaat	PTV 114 § 7.5.2 (2012)	
Dwarskrachtproef op kanaalplaatvloeren	EN 1168 Annex J	
Weerstand tegen belasting op afdekkingen voor putten en kolken	NEN 7067 § 5.5.2	
Weerstand tegen verbrijzeling van betonnen bakken voor waterafvoer	PTV 105 (2002)	
Weerstand tegen verbrijzeling van cirkelvormige betonelementen	EN 1916 Annex C	B
	EN 1917 Annex A	B
Afmetingen van een betonkern	Afl. PM - Hfdst. 53 (53.01)	B
Dikte deklaag	Geos	
Wateropsorping door onderdompeling	NBN B 15-215 (2018)	B
	EN 13369 - Annex F	B
	EN 1433 § 9.2	B
	EN 1916 Annex F	B
	EN 1917 Annex D	
	CME 53.13	B
	PTV 100 (2002)	
Waterdoorlatendheid	PTV 126 § 8.3 (2017)	B

Betonblokken

Volumemassa van betonblokken	CERIB Fiche 391 (2007)	
Capillaire waterabsorptie staal	EN 772-11	B
Druksterkte staal	EN 772-1	B
Vorst/dooi bestandheid	EN 772-22 (2019)	B
Vochtgedrag	EN 772-14	B
Drogingskrimp	EN 680	B

Betonboordstenen

Slijtweerstand (Capon)	EN 1340 - Annex G	B
Bepaling van de buigsterkte	EN 1340 - Annex F	B
Vorst/dooi bestandheid met dooizouten	EN 1340 - Annex D	B



BETON

Weerstand tegen uitglijden	EN 1340 - Annex I	B
Wateropslorping door onderdompeling	EN 1340 - Annex E	B

Betonstraatstenen

Slijtweerstand (Capon)	EN 1338 - Annex G	B
Afmetingen van betonstraatstenen	EN 1338 - Annex C	
Vorst/dooi bestandheid met dooizouten	EN 1338 - Annex D	B
Indringingswaarde van slijtlatjes (ponsproef)	EN 1338 - Annex F	
Weerstand tegen uitglijden	EN 1338 - Annex I	B
Splijtsterkte	EN 1338 - Annex F	B
Wateropslorping door onderdompeling	EN 1338 - Annex E	B

Betontegels

Slijtweerstand (Capon)	EN 1339 - Annex G	B
Bepaling van de indringing van chloorionen	EN 13396	
Bepaling van de buigsterkte	EN 1339 - Annex F	B
Vorst/dooi bestandheid met dooizouten	EN 1339 - Annex D	B
Weerstand tegen uitglijden	EN 1339 - Annex I	B
Wateropslorping door onderdompeling	EN 1339 - Annex E	B

24

GEOS laboratories

Aanmaakwater voor beton

Alkaliniteit	EN 1008	
Beoordeling van aanmaakwater	EN 1008	
Chloriden (IC)	EN 196-2	B
Dichtheid bij 20°C	EN 1008	B
Oplosbare bestanddelen	EN 1008	
Alkaliën (ICP-AES)	EN 196-2	B
Nitraten	EN 196-2	B
P ₂ O ₅ - Pb - Zn	EN 196-2	B
pH	ISO 4316	
Voorafgaand onderzoek	EN 1008	
Suikers	Geos	
Sulfaten (IC)	EN 196-2	B

Beton

SEM analyse	Geos
Kwantitatieve XRD analyse	Geos
Kwalitatieve XRD analyse	Geos



Hulpstoffen

Alkaligehalte (ICP-AES)	EN 480-12	B
Capillaire waterabsorptie	EN 480-5	B
Wateroplosbaar chloride d.m.v. titratie	EN 480-10	B
Dichtheid bij 20°C	EN 480-7	B
	ISO 758	B
Conventioneel droge-stofgehalte	EN 480-8	B
Infrarood-analyse	EN 480-6	B
pH	EN 480-9	B
	ISO 4316	B
Effect op de bindingstijd	EN 480-2	B
Visuele kenmerken (homogeniteit en kleur)	Geos	



HYDRAULISCHE BINDMIDDELEN

Cement - Vliegas

Alkaligehalte (ICP-AES)	LPC n° 48		
	Geos		
Invloed op de vormvastheid (Châtelier)	EN 196-3 §7		B
Chloride (potentiometrisch)	EN 196-2		B
	EN 196-2 §4.5.16		B
	EN ISO 1158		
CO ₂ (TGA)	EN 196-2		B
	NF P18-805		
Bepaling van de druksterkte	EN 196-1		B
Gehalte cementbestanddelen	CEN/TR 196-4 §6.2		
Water oplosbaar chroom (VI)	EN 196-10		B
Dichtheid	EN 1097-7		B L
	EN 196-6 §4		B L
Fijnheid door zieving (90 µm)	EN 196-6 §3		B L
Fijnheid door Blaine	EN 196-6 §4		B L
Bepaling van de buigsterkte	EN 196-1		B
Vrij CaO	EN 451-1		B
Waterretentie	EN 413-2 §6		B
Luchtgehalte	EN 413-2 §7		B
Wateroplosbaarheid	Geos		
Hydratatiewarmte	EN 196-9		B
Chemische samenstelling (ICP-AES)	EN 196-2		B
Onzuiver SiO ₂	EN 196-2 §4.5.5		
Onoplosbare rest	EN 196-2 §4.4.3		B
Gloeiverlies (TGA)	EN 196-2		B
	NF P18-805		
Reactief Al ₂ O ₃	EN 197-1		
Reactief CaO	EN 197-1		B
Reactief SiO ₂	EN 197-1		B
Sulfiden	EN 196-2 §4.4.5		B
Bepaling van krimp en zwel	NF P 15-433		B
Sulfaten (gravimetrie)	EN 196-2 §4.4.2		B
Sulfaten (IC)	EN 196-2		B
Totaal organisch koolstof	EN 13639		B
Totaal koolstof	ISO 10694 - ISO 12902		B
Standaard consistentie	EN 196-3 §5		B

26

GEOS laboratories

accreditaties : B - BELAC (ISO 17025) / A - AASHTO / L - LABORROUTE



Einde binding (Vicat)	EN 196-3 §6.3	B
Begin binding (Vicat)	EN 196-3 §6.2	B
Chemische samenstelling (XRF)	EN 196-2 §5	B
Korrelverdeling	ISO 13320	

Vliegas - specifieke analyses

Bepaling van de druksterkte	EN 196-1	B
Bepaling van de buigsterkte	EN 196-1	B
Activiteitsindex	EN 450-1 §5.3.2	B
Valse binding (Tusschenbroeck test)	NF P18-363	
Fijnheid door nat zeven	EN 451-2	B
Waterbehoefte van vliegas	EN 450-1 Annex B	
Chemische samenstelling (ICP-AES)	EN 196-2	B
Invloed op begin binding	EN 196-3 §6	B
Chemische samenstelling (XRF)	EN 196-2 §5	B
Gehalte oplosbaar fosfaat	EN 450-1 Annex C	B
Korrelverdeling	ISO 13320	

Gips

Gehalte anhydriet	Geos	
Chloride (potentiometrisch)	VGB M 701 § 8.8	
Onoplosbaar in HCl	VGB M 701 § 8.11	
Chemische samenstelling (ICP-AES)	VGB M 701 § 8.7	
pH	VGB M 701 § 4	
Sulfaten (IC)	VGB M 701 § 2.3	
CaSO ₃ · ½ H ₂ O	VGB M 701 § 8.9	
Totaal organisch koolstof (gebaseerd op ISO 10694/12902)	VGB M 701 § 8.10	
Watergehalte, zuiverheid en CaCO ₃ -gehalte (TGA)	VGB M 701 § 3	

Bouwkalk

Bepaling van vrije kalk	PTV 847 Annex A (2019)	
	EN 1744-1 § 18.4	B
Gehalte aan CaO	EN 459-2 §6.9	B
Gehalte aan Ca(OH) ₂	EN 459-2 §6.9	B
Sulfaatgehalte (IC)	EN 459-2 §6.4	
Reactiviteit van vrije kalk	EN 459-2 §7.6	
Stabiliteit van vrije kalk	EN 459-2 §7.4.4	
Einde binding (Vicat)	EN 459-2 §7.5.4	

accreditaties : B - BELAC (ISO 17025) / A - AASHTO / L - LABORROUTE



HYDRAULISCHE BINDMIDDELEN

Begin binding (Vicat)	EN 459-2 §7.5.4	
Luchtgehalte van verse mortel	EN 459-2 §7.10	

Mortel

Slijtweerstand	EN 12808-2	
Bepaling van de sterkte	EN 1015-11	B
Bepaling van de druk- en buigsterkte	EN 12808-3	
Standaard consistentie	EN 1015-4	
Weerstand tegen vorst-dooi (via druk- en buigsterkte)	EN 12808-3	
Bepaling van de vorstbestandheid (mortels)	PTV 844 - version 1.0 (2019)	
Bepaling van krimp	EN 12808-4	
Bepaling van de wateropslorping	EN 12808-5	

Hoogovenslak

Bepaling van de druksterkte	EN 196-1	B
Activiteitsindex	EN 15167-1 §5.3.2.3	B
Bepaling van het slakgehalte	CEN/TR 196-4 §7.2.2	B
Vochtgehalte	EN 15167-1 Annex A	
Chemische analyse	Geos	B
Glasgehalte	BRL9325 annex 3	

28

GEOS laboratoires

GEOS kan het ophalen en transport van uw monsters organiseren tot aan de levering in ons laboratorium.



+32 (0)12 67 09 09



NATUURSTEEN

Zuurbestandheid	Geos	
Weerstand tegen veroudering door SO ₂	EN 13919	B
Weerstand tegen base	Geos	
Slijtweerstand (Capon)	EN 14157 §3	B
Chemische analyse	PTV 819-5 - version 1.0 (2019)	B
Classificatie van natuursteen	PTV 819-4 - version 1.0 (2019)	
Bepaling van de eenassige druksterkte	ASTM D7012	
	EN 1926	B
	NF P 94-420	
Continuïteitsindex	NF P 18-556	
Schijnbare dichtheid en open porositeit	EN 1936	B
Breekkracht bij deuvlgat (type IIa)	EN 13364	
Bepaling van de buigsterkte	EN 12372	B
Bepaling van de vorstbestandheid (identificatie)	EN 12371	B
Visuele analyse aanwezigheid kalksteen	Geos	
Petrografische beschrijving van natuursteen	EN 12407	B
Bepaling van de porositeit	NF P 94-410-3	
Weerstand tegen uitglijden	EN 14231	B
Splijttreksterkte	ASTM D3967	
Veroudering door thermische schok	EN 14066	B
Waterabsorptie door capillariteit	EN 1925	B
Waterabsorptie bij atmosferische druk	EN 13755	B
Dimensies	EN 13373 §7.1 + 7.2 + 7.3	
Dynamische elasticiteitsmodulus	EN 14146	
Infrarood-analyse	EN 14581	
Volumemassa en waterabsorptie	EN 13383-2 §8	B
Point load test	ASTM D5731	
Weerstand tegen vorst-dooi	EN 13383-2 §9	B



Pigmenten

Totaal chloride	EN 12878	
Wateroplosbaar chloride (potentiometrisch)	ISO 787-13 § 7	
Gloeiverlies (TGA)	EN 12878	
Wateroplosbaarheid	ISO 787-3	
Bepaling van de druksterkte (28 dagen)	EN 196-1	B
Invloed op bindingstijd	EN 196-3 §6	B

Wegmarkering

Opslagstabiliteit	EN 1871 (Annex G)	
Verwekingspunt (R&K) na verhitting	EN 1871 (Annex F)	
Indringingsproef na verhitting	EN 1871 (Annex J)	
Verwekingspunt (R&K)	EN 1871 (Annex F)	
Dichtheid	ISO 2811-2	B
Indringingsproef	EN 1871 (Annex J)	



ON SITE TESTEN

Kaart met de locatie van de tests op de bouwplaats	Geos	
Staalname van materiaal voor onderfundering en fundering (granulair materiaal)	CME 01.24	B
Dikte epoxycoating	SB 250 (3.1) Hfdst. III § 43.3.5.2	
Slagsondering	Afl. PM - Hfdst. 50 (50.03)	
	CME 50.03	B
Pachometer (horizontaal en verticaal)	Geos	
Sclerometer	EN 13791	
Plaatproef Westergaard	SNV 670 319	B
	NF P94-117-3	B
Plaatproef (200 cm ²)	Afl. PM - Hfdst. 50 (50.01)	B
Plaatproef (750 cm ²)	Afl. PM - Hfdst. 50 (50.01)	B
Dynamische plaatproef	TP BF-StB Part B 8.3	B
Onderzoek en beoordeling van de buitenriolering	EN 13508 (codification)	
	CCT Qualiroutes	
	BEFDSS-DP (Format d'échange)	B



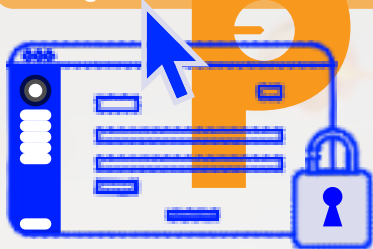
accreditaties : B - BELAC (ISO 17025) / A - AASHTO / L - LABORROUTE



Hoe kom ik op het GEOS klantenportaal?

Nadat uw account manager uw e-mailadres bij GEOS heeft geregistreerd volgt u deze stappen:

www.geos-laboratories.com



1

Klik op **myGEOS login** in de menubalk van onze website

2

Vul uw e-mailadres in en klik daarna op '**Wachtwoord vergeten**'

3

U ontvangt een e-mail bericht met de vraag een **paswoord** te kiezen

4

Eens dit gebeurd kan u **inloggen** op uw persoonlijke account bij GEOS



GEOS LABORATORIES

Hertenstraat 30
B-3830 Wellen

+32 (0)12 67 09 09

info@geos-laboratories.com
www.geos-laboratories.com

Rue de l'Abbaye 92
B-4040 Herstal

+32 (0)4 240 05 36

herstal@geos-laboratories.com
herstal.geos-laboratories.com